

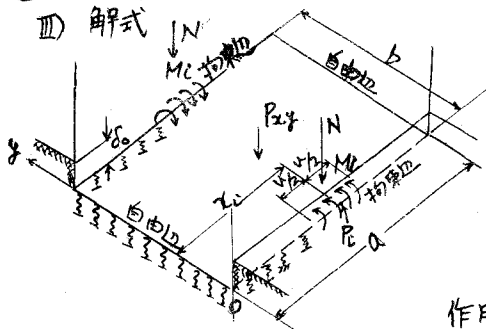
弾性地盤上にある箱型構造の立体解析

大阪工業大学 正員 ○岡村宏一
大阪設計コンサルタント KK 正員 吉田公憲

I) まえがき： 弾性基礎上にある部材をもつ構造の解析はラーメン、格子ばり等について取扱われており、又この種の单一板⁽¹⁾については周辺が既知の境界あるいは一定の力を受ける場合等について解析されているが、われわれは弾性基礎上にある矩形板を構造要素とする平板結合体(箱型構造)の解析を行うに便利と思われる解式を説導した。今回は対称曲げの場合について応用した例を示す。

II) 解法の概要： 弹性基礎上にある矩形板が周辺に未知の拘束モーメントを受け、さらには拘束辺に未知の一定沈下を生ずる場合の端モーメント-たわみ角公式を作成する。この場合に節点方程式を簡易化するために 不静定分布モーメントの矩形分割法⁽²⁾及び節線上に選択法を適用した。又周辺拘束辺の沈下量は反力の釣合により求められる。

III) 解式



i) 相対2辺拘束、他の2辺が自由の場合

図に示す様な弾性基礎上にある相対2辺拘束、相対2辺自由の矩形板の対称変形の場合の解式を示す。この様な平板はスラブ式ラーメン構造の構造要素として使用される。図2拘束辺は直圧により一定の沈下(δ_0)を生じ、辺上の選択点に於て矩形分割された一分布モーメント M_L が作用し M_L は数ブロックに分割されて拘束辺上の不静定モーメントの近似分布を形成する。

板を支配する釣合方程式は $\Delta\Delta w = \frac{P_{CL}}{D} - \lambda^4 (\delta_0 + w) \quad \lambda^4 = \frac{k}{D} \quad k: \text{基礎の剛度係数}$
上の場合のたわみの一 般形は

$$w = \sum_n \left[\sum_m \{ A_{mn} [m^2 + (2-v)\alpha^2 m n] \phi_m(x) + A_{mn} \sin m \pi \xi \} \right] \sin m \pi \eta$$

$\alpha = \frac{a}{D}$ $\xi = \frac{x}{a}$, $\eta = \frac{y}{b}$, $v = \nu$ ポアソン比。 A_{mn} は板上の荷重分布及び側辺沈下量 δ_0 及び拘束モーメント M_L によって与えられる係数である。上式より選択点のたわみ角-端モーメントの関係式を説導すると例えれば板上荷重が等分布の場合には

$$\theta_n = \frac{16\pi}{Nb} \sum_n \left[\frac{(8-k\delta_0)(D_n + (2-v)\alpha^2 E_n)}{\pi^2} [\phi_n(x) + H_n] + \sum_i \frac{M_{Li}}{b^2} [F_n + (2-v)\alpha^2 G_n] \phi_n(x) + I_n \right]$$

$$E_n = -\frac{a^2}{4\pi\lambda^4 n \lambda_n} \left(1 - \frac{\cos \pi \beta_m}{\cosh \pi P_m} \right) \left(\phi_n + P_m \frac{\sin \pi \beta_m}{\sinh \pi P_m} \right), \quad D_n = \frac{a^2}{4\pi\lambda^4 n \lambda_n} \left(1 - \frac{\cos \pi \beta_m}{\cosh \pi P_m} \right) \left(\phi_n - P_m \frac{\sinh \pi \beta_m}{\sinh \pi P_m} \right)$$

$$\beta_m = \sqrt{\alpha^4 n^2 + \frac{\pi^2 \lambda^4}{\pi^4}}, \quad \lambda_n = 1 - \frac{\cos 2\pi \beta_m}{\cosh 2\pi P_m}, \quad P_m = \sqrt{\frac{\alpha^4 n^2 + \pi^2 \lambda^4}{\pi^4} + \alpha^2 n^2}, \quad \delta_m = \sqrt{\frac{\alpha^4 n^2 + \pi^2 \lambda^4}{\pi^4} - \alpha^2 n^2}$$

- 1) 原口忠次郎：弾性基礎上の矢立形体及(1964, 総括刊行)
- 2) H. J. Flügge, L. J. Thorne; Rectangular Plates on Elastic Foundation; Journal of Applied Mech., Vol. 19 (1952)
- 3) M. Kurata, H. Okamura; A Method of Analysis of a Solid Structure Composed of Plate Elements "Publication" I.A.B.S.E (1964)

$$H_n = \frac{\alpha^2}{4\pi^2 \lambda^2} \left[\frac{(\alpha^2 \lambda^2)}{\pi^2} - \{ n^2 (U_{nS_i} + U_{n-1S_i}) + \frac{\alpha^2 \lambda^2}{\pi^2} (V_{nS_i} + V_{n-1S_i}) \} \right]$$

$$U_{nS_i} = \left\{ e^{-\pi R S_i} \sinh \pi R n S_i - \frac{\sinh \pi R S_i}{\cosh 2\pi P_n} \sin \pi R n (2-S_i) \right\} \lambda_i^n, \quad V_{nS_i} = \left\{ e^{-\pi R S_i} \cosh \pi R n S_i - \frac{\cosh \pi R S_i}{\cosh 2\pi P_n} \cos \pi R n (2-S_i) \right\} \lambda_i^n$$

$$U_{n-1S_i} = \left\{ \frac{\sinh \pi R S_i}{\cosh \pi R P_n} \sin \pi R n \cos \pi R n S_i - \frac{\cosh \pi R S_i}{\cosh \pi R P_n} \cos \pi R n \sin \pi R n S_i \right\} \lambda_i^{n-1}$$

$$V_{n-1S_i} = \frac{\cosh \pi R S_i}{\cosh \pi R P_n} \sin \pi R n \sin \pi R n S_i + \frac{\sinh \pi R S_i}{\cosh \pi R P_n} \cos \pi R n \cos \pi R n S_i \lambda_i^{n-1}$$

$$X_{nS_i} = X_{nS_i} - X_{nS_j}, \quad X_{nS_i} = \frac{\alpha^2}{4\pi^2 \lambda^2} \left\{ P_n (Y_{nS_i} - Y_{n-1S_i}) + g_n (S_{nS_i} - S_{n-1S_i}) \right\}, \quad \bar{S}_j = \bar{S}_i - \frac{1}{2t}, \quad \bar{S}_j' = \bar{S}_i + \frac{1}{2t} \quad t: \text{矩形分割数}$$

$$Y_{nS_i} = \left\{ e^{-\pi R S_i} \sin \pi R n S_i + \frac{\cosh \pi R S_i}{\cosh 2\pi P_n} \sin \pi R n (2-S_i) \right\} \lambda_i^n, \quad S_{nS_i} = \left\{ e^{-\pi R S_i} \cosh \pi R n S_i + \frac{\sinh \pi R S_i}{\cosh 2\pi P_n} \cos \pi R n (2-S_i) \right\} \lambda_i^n$$

$$Y_{n-1S_i} = \left\{ \frac{\cosh \pi R S_i}{\cosh \pi R P_n} \sin \pi R n \cos \pi R n S_i - \frac{\sinh \pi R S_i}{\cosh \pi R P_n} \cos \pi R n \sin \pi R n S_i \right\} \lambda_i^{n-1},$$

$$S_{n-1S_i} = \left\{ \frac{\cosh \pi R S_i}{\cosh \pi R P_n} \cos \pi R n \cos \pi R n S_i + \frac{\sinh \pi R S_i}{\cosh \pi R P_n} \sin \pi R n \sin \pi R n S_i \right\} \lambda_i^{n-1}$$

$$F_n = Y_{nS_j} - Y_{nS_j'}, \quad Y_{nS_i} = \frac{-\alpha^2}{4\pi^2 \lambda^2} \left\{ P_n (Y_{nS_i} - Y_{n-1S_i}) - g_n (S_{nS_i} - S_{n-1S_i}) \right\}$$

$$J_n = \frac{1}{2} (H_{nS_i} - H_{nS_i'} - H_{nS_k} + H_{nS_k'}) \quad \bar{S}_k = \bar{S}_j + \frac{1}{2}, \quad \bar{S}_k' = \bar{S}_j - \frac{1}{2}, \quad \bar{S}_k = \bar{S}_i + \frac{1}{2}, \quad \bar{S}_k' = \bar{S}_i - \frac{1}{2}$$

$$\Phi(x) = \{(1-v) \lambda^2 n^2 f(x) + \frac{\alpha^2 \lambda^2}{\pi^2} \Phi(2)\} L_n^2, \quad L_n = a \sin \pi R n - a' \sinh \pi R n$$

$$f(x) = \sinh \pi R n (1-\xi) \sin \pi R n \xi + \sinh \pi R n \sin \pi R n (1-\xi), \quad g(x) = \cosh \pi R n (1-\xi) \cos \pi R n \xi + \cosh \pi R n \sin \pi R n (1-\xi)$$

拘束刃の沈下量 δ_0 は次式で与えられる。

$$K\delta_0 + \frac{64\lambda^2 a^2}{\pi^2} \sum_n \left[\frac{8-k\delta_0}{\pi^2} \left\{ \{P_n + (2-v)\lambda^2 n E_n\} Y_n + \frac{1}{n^2} J_n \right\} + \sum_{ab} \frac{M_{ab}^2}{ab} \left\{ (F_{ab} + (2-v)\lambda^2 n G_{ab}) Y_n + \frac{1}{n^2} K_{ab} \right\} \right] = \sum W$$

$$Y_n = \frac{1}{n^2 L_n^2} \left\{ (1-v) \lambda^2 n^2 (8 - \sinh \pi R n - P_n \sin \pi R n) + \frac{\alpha^2 \lambda^2}{\pi^2} (P_n \sin \pi R n + P_n \sinh \pi R n) \right\}$$

$$J_n = \sum_m \frac{1}{m^2 P_{mn}}, \quad K_n = \sum_m \frac{1}{m^2 P_{mn}} \sinh \pi R S_i \sin \frac{m\pi}{2t}, \quad S_{mn} = \frac{\pi^2}{4t} \left\{ (m^2 + \lambda^2 n^2)^2 + \frac{\alpha^2 \lambda^2}{\pi^2} \right\}, \quad \sum W = \text{全垂直荷重}$$

以上の解式を連立させて解を求める。

ii) 四辺が拘束された場合 i) の解式に付けて、 $D_n = E_n = F_n = G_n = 0$ とおき全軸の手法で半方向の拘束モーメントを導入して解式を作成出来る。この平板要素は種々の構造物に含まれるものである。又、弾性基礎上において一般の各種平板要素も全軸にして解式を作成出来る。

IV) 計算例：図 K に示す ($a \times a \times a$) の角口箱形構造 K について計算した筋線上のモーメント分布を示した。Case-2 は等分布荷重及び側壁垂直力によるもの、Case-1 は底板の部分荷重によるものである。Case-1 では、基礎による均等化はなく、モーメントが集中する。この様な計算法は、例えば、施工ジョイントで分割される箱構造が、底板上に分布強度の大きい輪荷重を受ける場合等の 2 次元解析では評価不可能な断面力配分を基礎と一体化した立体構造として與えることが出来る。

Data: $K = 16 \text{ kN/mm}^2$, $\alpha^2 \lambda^4 = 536$, $v = 0.2$
各板の断面一定; Case-2: $\sum W = 48a^3$
筋線モーメントの矩形分割数, 5, 一辺上の節点数, 5.

